
Messbericht der mobilen Fluglärmmessung in Pellendorf, Teichgasse

Berichtszeitraum von: 31.03.2022 bis 30.04.2022

Inhalt

1 Einführung

| | | |
|------|------------------------------|------|
| 1.1. | Messsystem FANOMOS | S. 3 |
| 1.2. | Messgeräte und Einstellungen | S. 3 |
| 1.3. | Standort der Messstation | S. 4 |

2 Erfassung der Schallereignisse

| | | |
|------|----------------------------------|------|
| 2.1. | Methodik und Geräuscherfassung | S. 5 |
| 2.2. | Zuordnung zu Fluglärmereignissen | S. 5 |

3 Auswertung der Fluglärmmessung

| | | |
|------|---|-------|
| 3.1. | Auswertungsmethode und Erfassungsquoten | S. 6 |
| 3.2. | Überflughöhen der für den Messpunkt relevanten Flugbewegungen | S. 6 |
| 3.3. | Einzelpegelverteilung der einzelnen Pisten | S. 7 |
| 3.4. | Einzelpegelverteilung der einzelnen An- und Abflugrouten | S. 8 |
| 3.5. | Einzelpegelverteilung der einzelnen Flugzeugtypen | S. 9 |
| 3.6. | Äquivalenter Dauerschallpegel (LEQ) für die verschiedenen Betriebszustände | S. 10 |
| 3.7. | Grafiken zum Verlauf des Dauerschallpegels über den Messzeitraum | S. 11 |
| 3.8. | Grafiken zur Verteilung des Maximalpegels im Messzeitraum nach Windrichtung | S. 12 |

4 Verzeichnisse

| | | |
|------|---|-------|
| 4.1. | Abkürzungsverzeichnis und Erläuterung der jeweiligen Dauerschallpegel | S. 13 |
| 4.2. | Abbildungsverzeichnis | S. 13 |
| 4.3. | Tabellenverzeichnis | S. 13 |

1 Einführung

1.1. Messsystem FANOMOS

Mit FANOMOS (Flight Track and Noise Monitoring System) wurde bereits im Jahr 1990 am Flughafen Wien-Schwechat eine Fluglärm-Überwachungsanlage in Betrieb genommen.

FANOMOS misst die Fluggeräuschemissionen aller startenden und landenden Flugzeuge und zeichnet in Verbindung mit Radardaten die Flugspur, Geschwindigkeit und Flughöhe auf. Weiters liefert das System Daten für die Kontrolle von Lärmzonenberechnungen.

Am Flughafen Wien werden an 15 fixen und 3 mobilen Messstellen in Siedlungsgebieten in der Umgebung des Flughafens die Schallpegel der Überflüge registriert und daraus die Werte für Tages-LEQ (06:00 Uhr - 22:00 Uhr) und Nacht-LEQ (22:00 Uhr - 06:00 Uhr) ermittelt.

Wesentliche Komponenten des Messsystems sind eine wetterfeste Mikrofoneinheit mit Windschirm, ein Messrechner (Analysator), ein GPS-System und eine Kommunikationseinheit, die eine kontinuierliche Datenübertragung gewährleistet. Eine unabhängige Energieversorgung wird mittels Brennstoffzelle gewährleistet.

Für die Geräuschauswertung wird eine spezielle Software eingesetzt, die eine automatische Unterscheidung zwischen Flug- und Fremdgeräusch trifft und eine Zuordnung der Fluginformationen eines in der Nähe befindlichen Flugzeuges durchführt.

1.2. Messgeräte und Einstellungen

| | |
|----------------------|----------------------|
| Messgerät: | Norsonic Typ 140 |
| Mikrofoneinheit: | Norsonic 1217 / 1209 |
| Messhöhe über Grund: | 4 m |
| Messbereich: | 20 - 130 dB |
| Frequenzbewertung: | A |
| Zeitbewertung: | Slow |

Ansprechpegel für Ereignisse:

| | |
|--------------------------------|---------|
| Tag (06:00 Uhr - 22:00 Uhr): | 55 dB |
| Nacht (22:00 Uhr - 06:00 Uhr): | 50 dB |
| Mindestdauer: | 10 Sek. |

Eichtechnische Prüfung:

Die verwendeten Messgeräte und Mikrofone entsprechen der Genauigkeitsklasse 0,7 des österr. Maß- und Eichgesetzes, was eine Messgenauigkeit von +/- 0,7 dB ergibt.

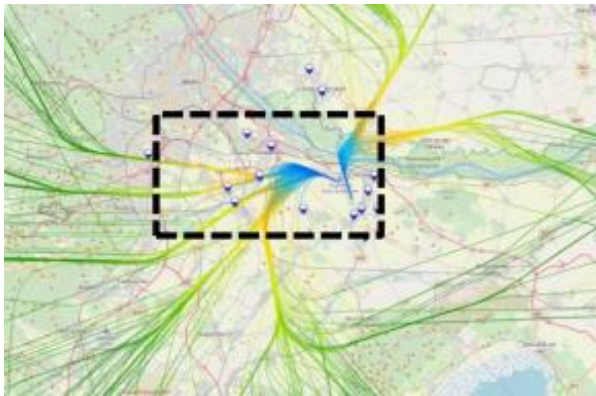
Die eichtechnischen Prüfungen erfolgen vorschriftsgemäß alle 2 Jahre in Übereinstimmung mit IEC 60651 Kl. 1, IEC 60804 Kl. 1 und IEC 61672 Kl.1.

1 Einführung

1.3. Standort der Messstelle

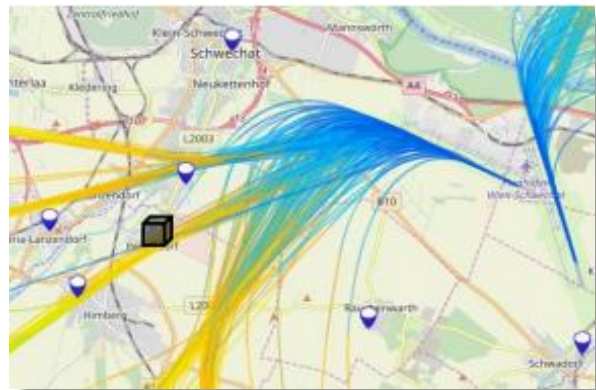
Messpunkt: Pellendorf
Teichgasse

Abb. 1: Übersichtskarte:



 ... Detailausschnitt

Abb. 2: Detailkarte:



 ... Messpunkt

Abb. 3: Symbolfoto der Messstelle:



Abb. 4: Messgerät und Modemeinheit:



2 Erfassung der Schallereignisse

2.1. Methodik und Geräuscherfassung

Als "Schallereignis" gelten jene Geräusche, die einen Messschwellenwert für eine bestimmte Mindestdauer übersteigen. Hierbei ist zwischen Fluglärmereignissen und Fremdgeräuschen (wie z.B. KFZ, Rasenmäher, ...) zu unterscheiden.

Tab. 1: Schallereignisse am Messpunkt für den gesamten Messzeitraum

| registrierte Schallereignisse innerhalb des Messzeitraums | | |
|---|--------------------------------|---------------------------------|
| Tag 06:00 Uhr - 22:00 Uhr | Nacht 22:00 Uhr - 06:00 Uhr | Gesamt 00:00 Uhr - 24:00 Uhr |
| 3.455 | 1.346 | 4.801 |

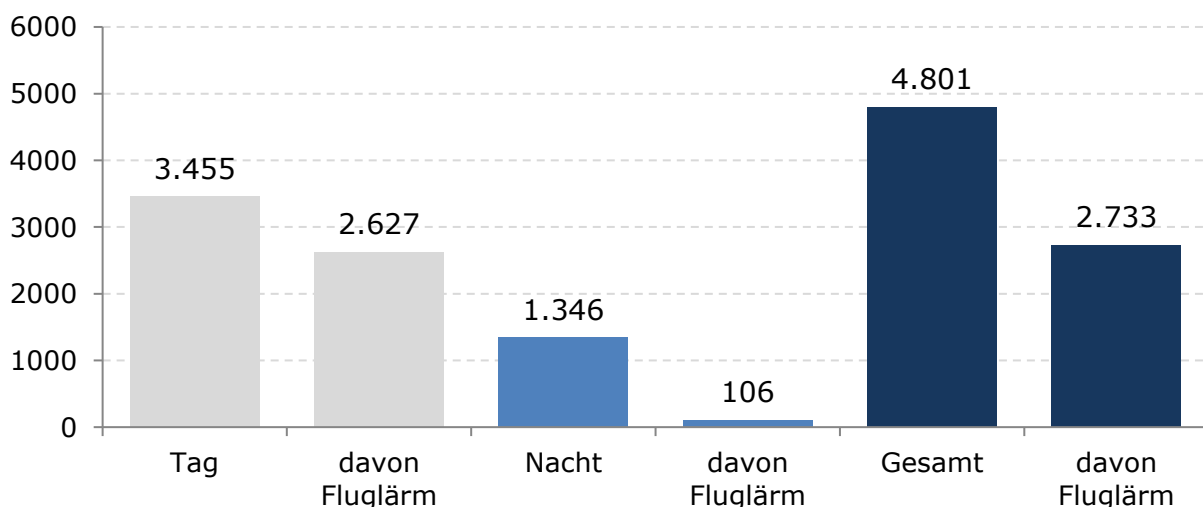
2.2. Zuordnung zu Fluglärmereignissen

Die Zuordnung zu Fluglärmereignissen basiert auf einer Korrelation mit den Radardaten der österr. Flugsicherung (Austro Control). Hierbei wird die Fluginformationen eines in der Nähe befindlichen Flugzeuges automatisch durchgeführt und manuell überprüft.

Tab. 2: zugeordnete Fluglärmereignisse am Messpunkt für den gesamten Messzeitraum

| zugeordnete Fluglärmereignisse innerhalb des Messzeitraums | | |
|--|--------------------------------|---------------------------------|
| Tag 06:00 Uhr - 22:00 Uhr | Nacht 22:00 Uhr - 06:00 Uhr | Gesamt 00:00 Uhr - 24:00 Uhr |
| 2.627 | 106 | 2.733 |

Abb. 5: Schallereignisse am Messpunkt



3 Auswertung der Fluglärmmessung

3.1. Auswertungsmethode und Erfassungsquoten

Zur Erfassung der Anzahl aller Flüge im Bereich für den Messzeitraum wurden im Umkreis von 3.000 m um den Messpunkt alle Flugspuren anhand der Radardaten analysiert und den jeweiligen Start- und Landerichtungen zugeordnet.

Tab. 3: Anteil der für den Messpunkt relevanten Flugbewegungen

| Starts Piste 29 | davon im Bereich | Anteil |
|-----------------|------------------|--------|
| 5.915 | 4.773 | 80,7% |

Tab. 4: Erfassungsquote der für den Messpunkt relevanten Flugbewegungen

| relevante Flugbewegungen im Bereich | Anzahl | Anzahl der zugeordneten Lärmereignisse | Erfassungsquote |
|-------------------------------------|--------|--|-----------------|
| Starts Piste 29 | 4.773 | 2.725 | 57,1% |

Nicht erfasste Flugbewegungen sind

- Flugbewegungen, welche von Fremdgeräuschen (z.B.: KFZ, Rasenmäher) überlagert wurden
- Flugbewegungen, die aufgrund ihrer Entfernung zum Messpunkt bzw. der Type des Flugzeuges die Mindestdauer bzw. den Mindestpegel nicht erreichen.

3.2. Überflughöhen der für den Messpunkt relevanten Flugbewegungen

Nachstehende Tabelle zeigt die durchschnittlichen Überflughöhen am Messpunkt.

Tab. 5: Überflughöhen der relevanten Flugbewegungen

| relevante Flugbewegungen | 90% der Flüge waren über | durchschnittliche Höhe |
|--------------------------|--------------------------|------------------------|
| Starts Piste 29 | 2.800 ft | 3.400 ft |

3 Auswertung der Fluglärmmessung

3.3. Einzelpegelverteilung der einzelnen Pisten

Tabelle 6 und 7 zeigen die energetisch gemittelten Einzelpegel in dB(A) der erfassten Fluglärmereignisse am Messpunkt nach Pisten.

Tab. 6: durchschnittliche Einzelpegel für erfasste Landungen pro Piste in dB(A)

| Pistenrichtung | Anzahl | Anteil [%] | Ø Pegel [dB(A)] | Min. Pegel [dB(A)] | Max. Pegel [dB(A)] |
|----------------|----------|--------------|-----------------|--------------------|--------------------|
| Piste 11 | 0 | - | - | - | - |
| Piste 16 | 1 | 50,0 | 66,2 | 66,2 | 66,2 |
| Piste 29 | 1 | 50,0 | 64,9 | 64,9 | 64,9 |
| Piste 34 | 0 | - | - | - | - |
| Gesamt | 2 | 100,0 | 65,6 | 64,9 | 66,2 |

Tab. 7: durchschnittliche Einzelpegel für erfasste Starts pro Piste in dB(A)

| Abflugstrecken je Pistenrichtung | Anzahl | Anteil [%] | Ø Pegel [dB(A)] | Min. Pegel [dB(A)] | Max. Pegel [dB(A)] |
|----------------------------------|-------------|--------------|-----------------|--------------------|--------------------|
| Piste 11 | 1 | 0,0 | 56,9 | 56,9 | 56,9 |
| Piste 16 | 0 | - | - | - | - |
| Piste 29 | 2725 | 99,7 | 67,9 | 55,0 | 78,2 |
| Piste 34 | 7 | 0,3 | 64,3 | 60,0 | 68,7 |
| Gesamt | 2733 | 100,0 | 67,9 | 55,0 | 78,2 |

Anmerkung:

Ø Pegel [dB(A)]energetisch gemittelter Lärmpegel, begrenzt durch Min. Pegel und Max. Pegel

Min. Pegel [dB(A)]niedrigster gemessener Lärmpegel auf der ausgewiesenen Piste

Max. Pegel [dB(A)] ...höchster gemessener Lärmpegel auf der ausgewiesenen Piste

3 Auswertung der Fluglärmmessung

3.4. Einzelpegelverteilung der einzelnen An- und Abflugrouten

Die Tabelle 8 zeigt die energetisch gemittelten Einzelpegel in dB(A), sowie minimale und maximale Pegel der erfassten Fluglärmereignisse am Messpunkt, aufgeteilt nach Abflugstrecken.

Tab. 8: Einzelpegel für erfasste Starts pro Abflugstrecke in dB(A)

| Abflugstrecken je Pistenrichtung | Anzahl | Anteil [%] | Ø Pegel [dB(A)] | Min. Pegel [dB(A)] | Max. Pegel [dB(A)] |
|----------------------------------|--------|------------|-----------------|--------------------|--------------------|
| ADAMA2C | 54 | 2,0 | 63,6 | 60,0 | 68,2 |
| ARSIN1C | 90 | 3,3 | 62,7 | 60,1 | 68,9 |
| ASPIB2C | 35 | 1,3 | 64,3 | 56,7 | 68,3 |
| BUWUT1C | 158 | 5,8 | 66,0 | 60,1 | 73,8 |
| EMKOG3C | 14 | 0,5 | 63,4 | 60,1 | 66,4 |
| IMVOB3C | 29 | 1,1 | 61,9 | 55,8 | 65,2 |
| IRGOT2C | 30 | 1,1 | 60,2 | 55,3 | 63,8 |
| LANUX2C | 204 | 7,5 | 64,2 | 60,0 | 70,7 |
| LEDVA3C | 71 | 2,6 | 64,5 | 60,3 | 69,8 |
| LUGEM1C | 282 | 10,3 | 67,8 | 60,1 | 75,5 |
| MEDIX1C | 844 | 30,9 | 67,8 | 60,0 | 76,5 |
| ODSUD2C | 10 | 0,4 | 62,0 | 60,3 | 63,8 |
| OSPEN4C | 140 | 5,1 | 62,9 | 60,0 | 74,0 |
| OTGAR2C | 29 | 1,1 | 62,4 | 55,0 | 70,8 |
| RUPET2C | 74 | 2,7 | 62,4 | 60,0 | 69,7 |
| SOVIL1C | 546 | 20,0 | 71,3 | 60,8 | 78,2 |
| STEIN3C | 87 | 3,2 | 62,8 | 60,0 | 70,1 |
| UMSUM3C | 7 | 0,3 | 59,9 | 55,8 | 62,2 |
| UNGUT2C | 11 | 0,4 | 61,8 | 55,5 | 63,3 |

Es werden nur Abflugstrecken mit mindestens 3 Flugbewegungen ausgewiesen. Eine Übersicht aller Abflugstrecken ist auf www.flugspuren.at in der Rubrik "Flugrouten" abrufbar.

Ø Pegel [dB(A)]energetisch gemittelter Lärmpegel, begrenzt durch Min. Pegel und Max. Pegel
 Min. Pegel [dB(A)]niedrigster gemessener Lärmpegel auf der ausgewiesenen Abflugstrecke
 Max. Pegel [dB(A)] ...höchster gemessener Lärmpegel auf der ausgewiesenen Abflugstrecke

3 Auswertung der Fluglärmmessung

3.5. Einzelpegelverteilung der einzelnen Flugzeugtypen

Tabelle 9 zeigt die Verteilung der Einzelpegel der Flugzeugtypen für ausgewählte Pistenrichtungen bzw. Abflugstrecken geordnet nach der Anzahl der verursachten Maximalpegel.

Tab. 9: Einzelpegel der einzelnen Flugzeugtypen für relevante Flugbewegungen in dB(A)

| Flugzeugtypen Piste 29 | Starts | Code | Anzahl | Anteil [%] | Ø Pegel [dB(A)] | Min. Pegel [dB(A)] | Max. Pegel [dB(A)] |
|---------------------------------|--------|------|-------------|---------------|--------------------|-----------------------|-----------------------|
| Airbus A320 | | A320 | 1142 | 41,9 | 67,2 | 57,4 | 76,3 |
| Embraer ERJ 190-100 | | E195 | 413 | 15,2 | 69,9 | 55,3 | 75,1 |
| Boeing 737-800 | | B738 | 177 | 6,5 | 67,5 | 56,4 | 74,1 |
| Airbus A321 | | A321 | 165 | 6,1 | 68,3 | 55,8 | 77,3 |
| Airbus A319 | | A319 | 112 | 4,1 | 66,8 | 60,0 | 75,3 |
| Boeing 777-200 | | B772 | 82 | 3,0 | 68,2 | 57,2 | 78,2 |
| Airbus A321neo | | A21N | 77 | 2,8 | 65,0 | 60,0 | 72,6 |
| Boeing 787-9 Dreamliner | | B789 | 66 | 2,4 | 65,5 | 60,2 | 69,7 |
| Boeing 767-300 | | B763 | 54 | 2,0 | 72,2 | 55,8 | 76,5 |
| Bombardier BD-500 CSeries CS300 | | BCS3 | 53 | 1,9 | 64,6 | 60,1 | 69,0 |
| Airbus A320neo | | A20N | 35 | 1,3 | 69,2 | 59,0 | 73,0 |
| Embraer ERJ 170-100 | | E170 | 27 | 1,0 | 69,0 | 61,1 | 72,6 |
| Embraer ERJ 190-100 | | E190 | 25 | 0,9 | 67,1 | 61,9 | 72,7 |
| Bombardier CL-600 Regional Jet | | CRJ9 | 23 | 0,8 | 66,3 | 61,2 | 69,0 |
| Boeing 747-400 | | B744 | 22 | 0,8 | 72,3 | 61,9 | 75,5 |
| Airbus A380-800 | | A388 | 19 | 0,7 | 63,6 | 56,7 | 67,5 |
| Bombardier DHC-8-400 Dash 8 | | DH8D | 19 | 0,7 | 62,0 | 60,0 | 64,5 |
| Boeing 757-200 | | B752 | 17 | 0,6 | 61,7 | 55,0 | 66,3 |
| Cessna 560XL Citation Excel | | C56X | 16 | 0,6 | 63,0 | 60,8 | 64,7 |
| Boeing 777-200LR | | B77L | 14 | 0,5 | 65,5 | 61,8 | 68,8 |
| Boeing 747-8 | | B748 | 10 | 0,4 | 71,8 | 63,5 | 75,9 |
| Boeing 787-8 Dreamliner | | B788 | 10 | 0,4 | 63,0 | 60,0 | 65,4 |
| Cessna 525A Citation CJ2 | | C25A | 9 | 0,3 | 65,7 | 64,3 | 67,5 |
| Dassault Falcon 900 | | F900 | 8 | 0,3 | 65,7 | 61,7 | 68,8 |
| Bombardier BD-500 CSeries CS100 | | BCS1 | 8 | 0,3 | 64,9 | 61,5 | 66,4 |
| Boeing 737-700 | | B737 | 7 | 0,3 | 67,7 | 60,9 | 69,9 |
| Boeing 737-900 | | B739 | 7 | 0,3 | 65,6 | 61,7 | 67,3 |
| Embraer EMB-505 Phenom 300 | | E55P | 6 | 0,2 | 66,1 | 61,3 | 69,0 |
| Cessna 680A Citation Latitude | | C68A | 5 | 0,2 | 66,2 | 61,6 | 68,6 |
| Bombardier BD-700 Global | | GLEX | 5 | 0,2 | 65,9 | 63,3 | 68,0 |
| Cessna 525C Citation CJ4 | | C25C | 5 | 0,2 | 65,8 | 61,2 | 70,3 |
| Gulfstream 5 | | GLF5 | 5 | 0,2 | 64,4 | 61,0 | 67,3 |
| Embraer ERJ 170-200 (long wing) | | E75L | 5 | 0,2 | 63,4 | 61,3 | 64,6 |
| Flugzeugtypen < 3 Erfassungen | | - | 77 | 2,8 | 66,0 | 57,8 | 74,7 |
| Summe Starts Piste 29 | | | 2725 | 100,0 | 67,9 | 55,0 | 78,2 |

Anmerkung:

Es werden nur Flugzeugtypen mit mind. 5 Flugbewegungen ausgewiesen.

Ø Pegel [dB(A)]energetisch gemittelter Lärmpegel, begrenzt durch Min. Pegel und Max. Pegel

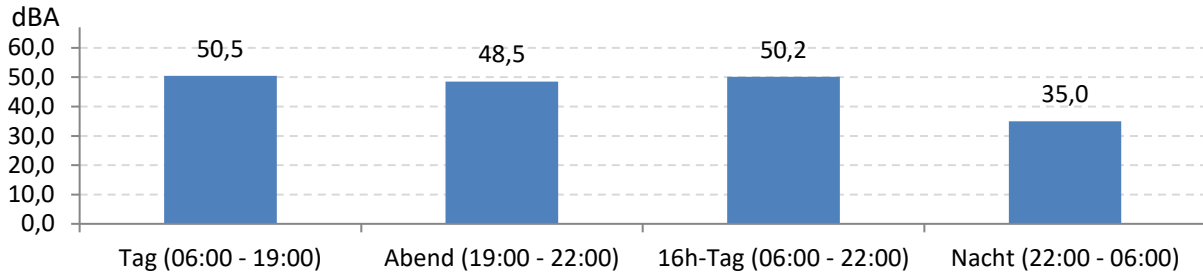
Min. Pegel [dB(A)]niedrigster gemessener Lärmpegel des ausgewiesenen Flugzeugtypes

Max. Pegel [dB(A)] ...höchster gemessener Lärmpegel des ausgewiesenen Flugzeugtypes

3 Auswertung der Fluglärmmessung

3.6. Äquivalenter Dauerschallpegel (LEQ) für die verschiedenen Betriebszustände

Abb. 6: LEQ für den gesamten Messzeitraum während der Messdauer (Gesamt: 744 Stunden)



Als Information, welche Pistenbetriebsrichtungen am Messpunkt die höhere Schallimmission verursachen, werden die jeweiligen LEQs auch auf jene Zeiträume bezogen, in denen die gleichen Windverhältnisse geherrscht haben (westliche Winde – Windstille – östlichen Winde).

Abb. 7: LEQ bei Pistenbetriebsrichtung "westliche Winde" 456 Stunden im Messzeitraum

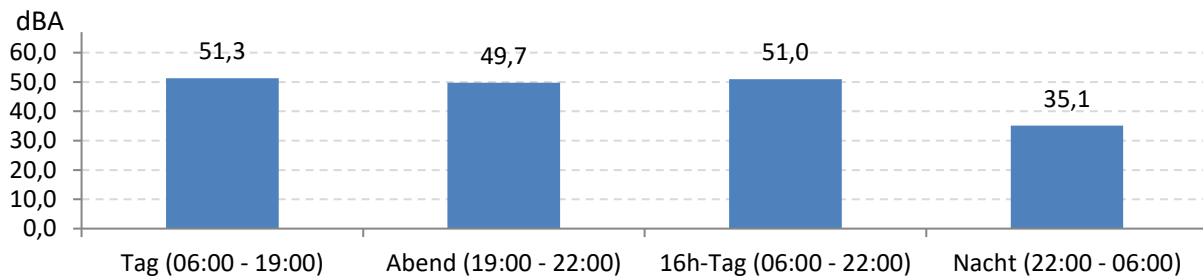


Abb. 8: LEQ bei Pistenbetriebsrichtung "Windstille" 131 Stunden im Messzeitraum

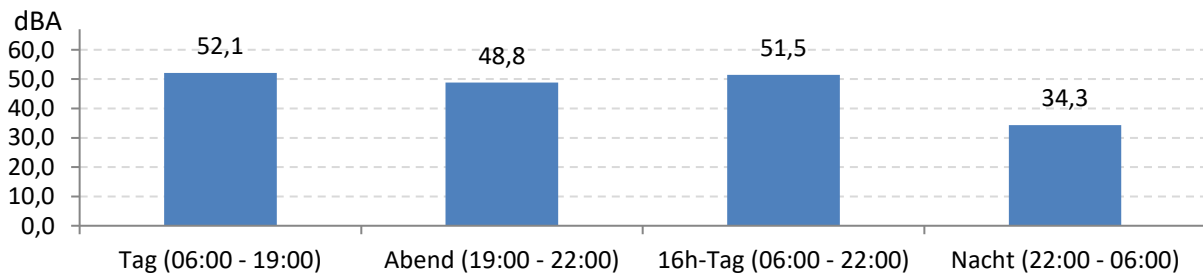
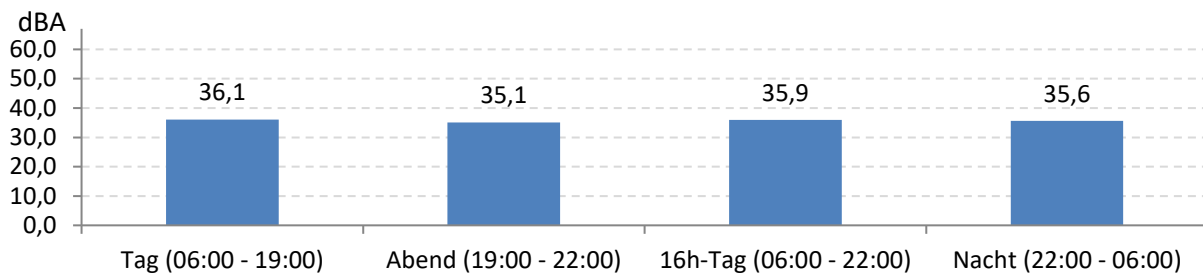


Abb. 9: LEQ bei Pistenbetriebsrichtung "östliche Winde" 157 Stunden im Messzeitraum



3 Auswertung der Fluglärmmessung

3.7. Grafiken zum Verlauf des Dauerschallpegels über den Messzeitraum

Die Grafiken zeigen den Verlauf der täglichen Dauerschallpegel über den Messzeitraum und den Verlauf der über den Messzeitraum gemittelten Stunden-LEQs für Flugverkehr.

Abb.10: LEQ für Flugverkehr über den Messzeitraum

Messdauer: 744 Stunden

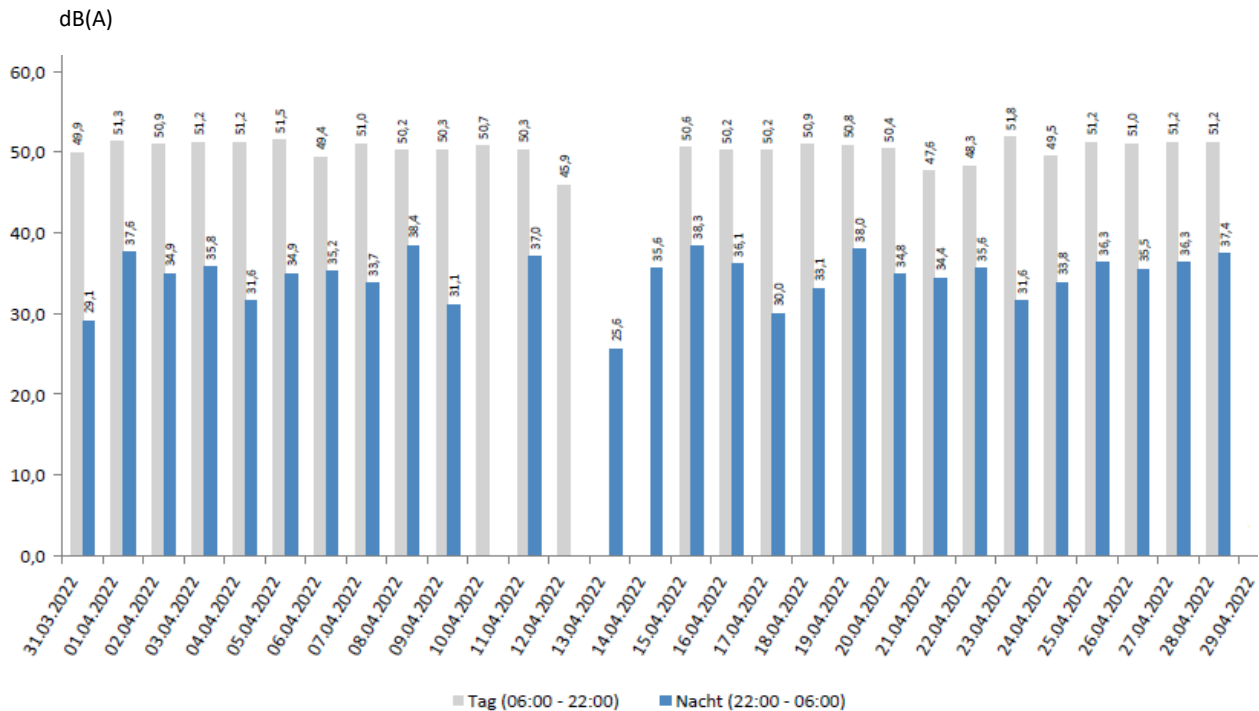
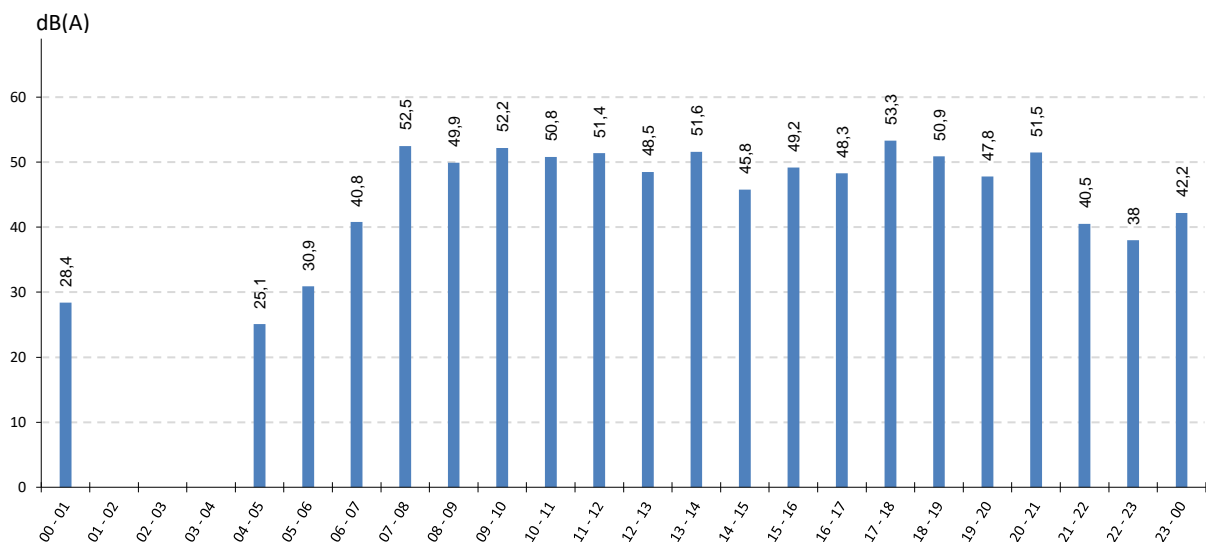


Abb. 11: Verlauf der über den Meßzeitraum gemittelten Stunden-LEQs für Flugverkehr



3 Auswertung der Fluglärmmessung

3.8 Grafiken zur Verteilung des Maximalpegels im Messzeitraum nach Windrichtung

Die Grafiken zeigen die Verteilung der einzelnen Lärmereignisse an je einem im Messzeitraum erfassten Westwind-Tag und Ostwind-Tag.

Abb. 12: Verteilung des Maximalpegels bei westlichen Winden

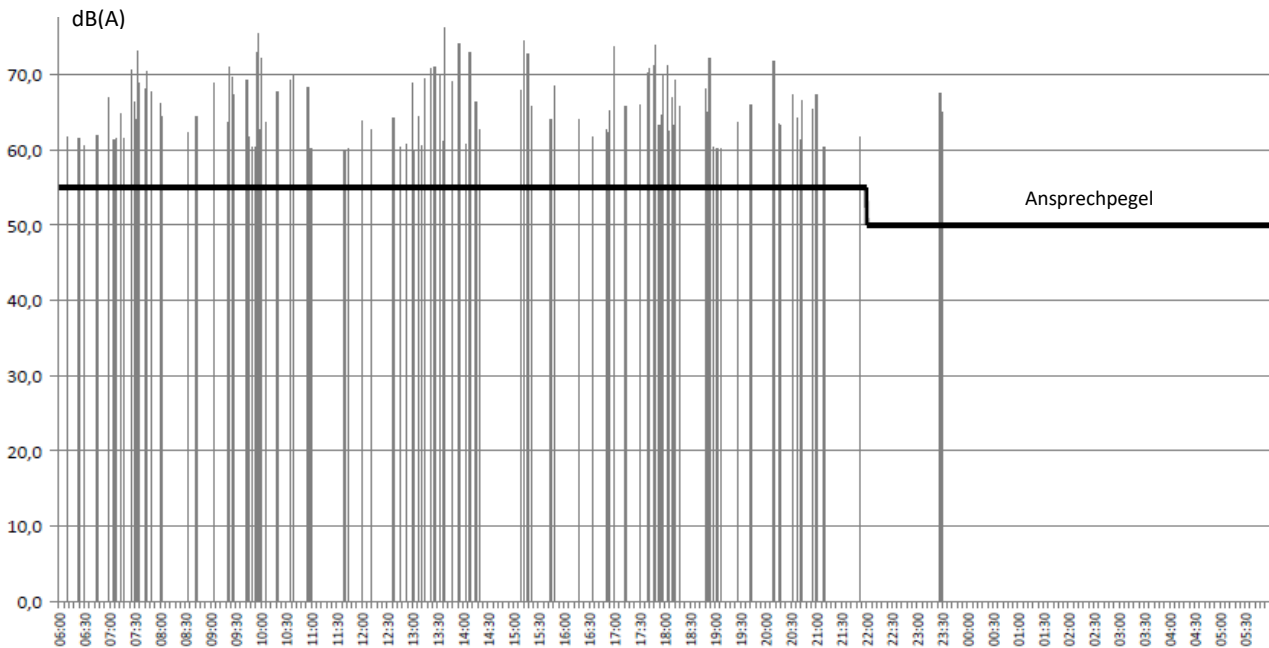
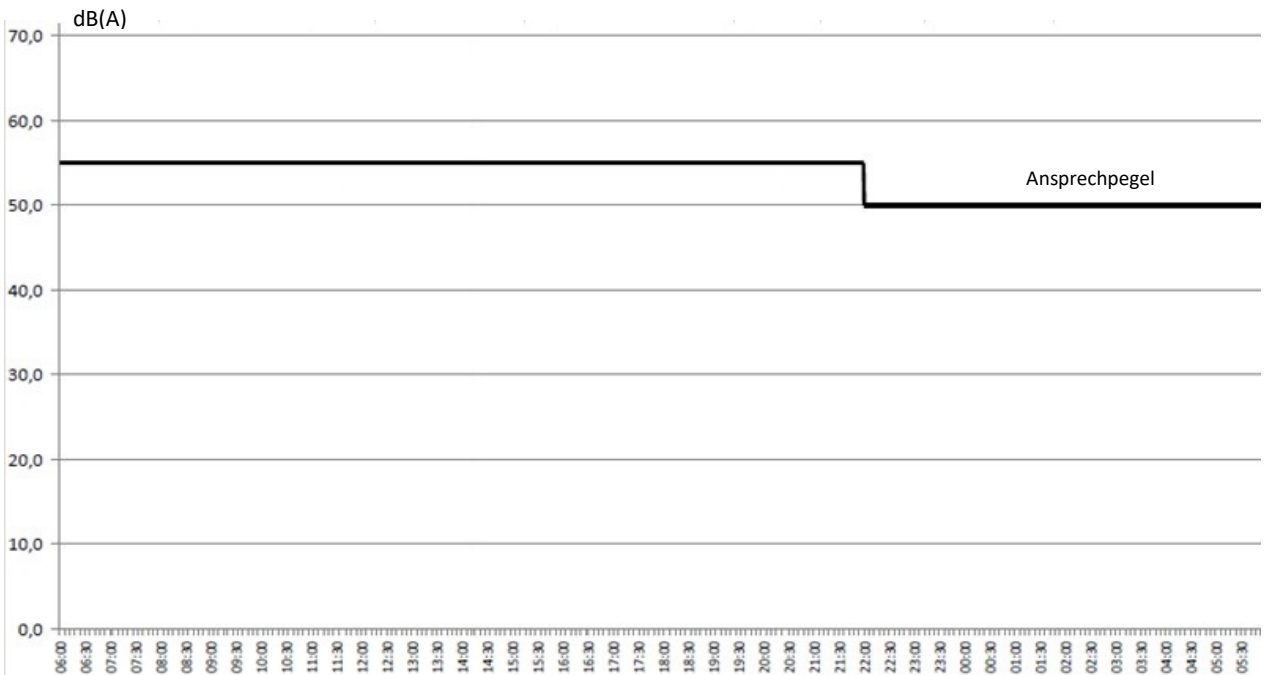


Abb. 13: Verteilung des Maximalpegels bei östlichen Winden



Spitzenpegel und Häufigkeit der Überflüge hängen von den jeweiligen Wetterbedingungen und Flugplänen ab. Trotz gleicher Pistennutzung kann es deshalb zu Unterschieden in der Tagesverteilung kommen.

4 Verzeichnisse

4.1. Abkürzungen und Erläuterung der jeweiligen Dauerschallpegel

Äquivalenter Dauerschallpegel (LEQ):

Energetischer Mittelwert aller durch Flugverkehr verursachten Schallereignisse innerhalb eines gewählten Zeitraumes. Von jedem einzelnen Schallereignis werden ab einem bestimmten Schwellenwert sowohl Spitzenpegel als auch Ereignisdauer erfasst und daraus - einschließlich dazwischen liegender Ereignispausen - ein gesamter Durchschnittswert errechnet.

Tages-LEQ:

Äquivalenter Dauerschallpegel bezogen auf den Tag (06:00 Uhr bis 19:00 Uhr)

Abend-LEQ:

Äquivalenter Dauerschallpegel bezogen auf den Abend (19:00 Uhr bis 22:00 Uhr)

Tages-LEQ (16h):

Äquivalenter Dauerschallpegel bezogen auf 16 Stunden (06:00 Uhr bis 22:00 Uhr)

Nacht-LEQ:

Äquivalenter Dauerschallpegel bezogen auf die Nacht (22.00 Uhr bis 06:00 Uhr)

4.2. Abbildungsverzeichnis

Abb. 1: Übersichtskarte Messpunkt

Abb. 2: Detailkarte Messpunkt

Abb. 3: Foto der Messstelle

Abb. 4: Messgerät und Modemeinheit

Abb. 5: Schallereignisse am Messpunkt

Abb. 6: LEQ für den gesamten Messzeitraum während der Messdauer

Abb. 7: LEQ bei Pistenbetriebsrichtung "westliche Winde"

Abb. 8: LEQ bei Pistenbetriebsrichtung "Windstille"

Abb. 9: LEQ bei Pistenbetriebsrichtung "östliche Winde"

Abb. 10: LEQ für Flugverkehr über den Messzeitraum

Abb. 11: Verlauf der über den Meßzeitraum gemittelten Stunden-LEQs für Flugverkehr

Abb. 12: Verteilung des Maximalpegels bei westlichen Winden

Abb. 13: Verteilung des Maximalpegels bei östlichen Winden

4.3. Tabellenverzeichnis

Tab. 1: Schallereignisse am Messpunkt für den gesamten Messzeitraum

Tab. 2: zugeordnete Fluglärmereignisse am Messpunkt

Tab. 3: Anteil der relevanten Flugbewegungen im Bereich

Tab. 4: Erfassungsquote der relevanten Flugbewegungen

Tab. 5: Überflughöhen der relevanten Flugbewegungen

Tab. 6: Durchschnittliche Einzelpegel für erfasste Landungen pro Piste in dB(A)

Tab. 7: Durchschnittliche Einzelpegel für erfasste Starts pro Piste in dB(A)

Tab. 8: Einzelpegel für erfasste Starts pro Abflugstrecke in dB(A)

Tab. 9: Einzelpegel der einzelnen Flugzeugtypen für relevante Flugbewegungen in dB(A)